

G. A. МУСТАФИНА, И. Н. РЯБОВА, А. С. САТЫМБАЕВА

## ЭЛЕКТРОХИМИЧЕСКОЕ СУЛЬФИРОВАНИЕ УГЛЯ

Органическая масса угля (ОМУ) благодаря своей полифункциональности и реакционной способности атома водорода ароматического ядра легко вступает в реакции электрофильного замещения и представляет собой удобный объект для химической модификации с целью придания ОМУ новых специфических свойств.

Анализ работ по получению сульфоуглей свидетельствует о том, что реакция сульфирования, в основном, осуществляется в присутствии концентрированной серной кислоты или 20-25% олеума. Оба метода требуют жестких условий проведения процессов (высокое давление и температура), а также использования химически агрессивных реагентов [1].

Известным способом получения сульфирированных органических веществ является введение сульфогруппы в ароматическое ядро после предварительного окисления субстрата по реакции Пирия в присутствии сульфита натрия [2, 3]. В качестве окислителей используются пероксид натрия, бихромат калия, перманганат калия или кислород воздуха.

Целью данной работы явилось исследование процесса электрохимического окисления угля, сопровождающегося реакцией сульфирования ОМУ. В качестве сульфирующего агента использован раствор сульфита натрия.

### Экспериментальная часть

Для электрохимического сульфирования были взяты окисленные угли Шубаркольского месторождения (ШОУ), характеристики которых приведены в табл. 1.

Сульфирование проводили в электролитической ячейке с катионообменной диафрагмой МК-40. Анодом служил графитовый электрод ( $S = 10 \text{ см}^2$ ),

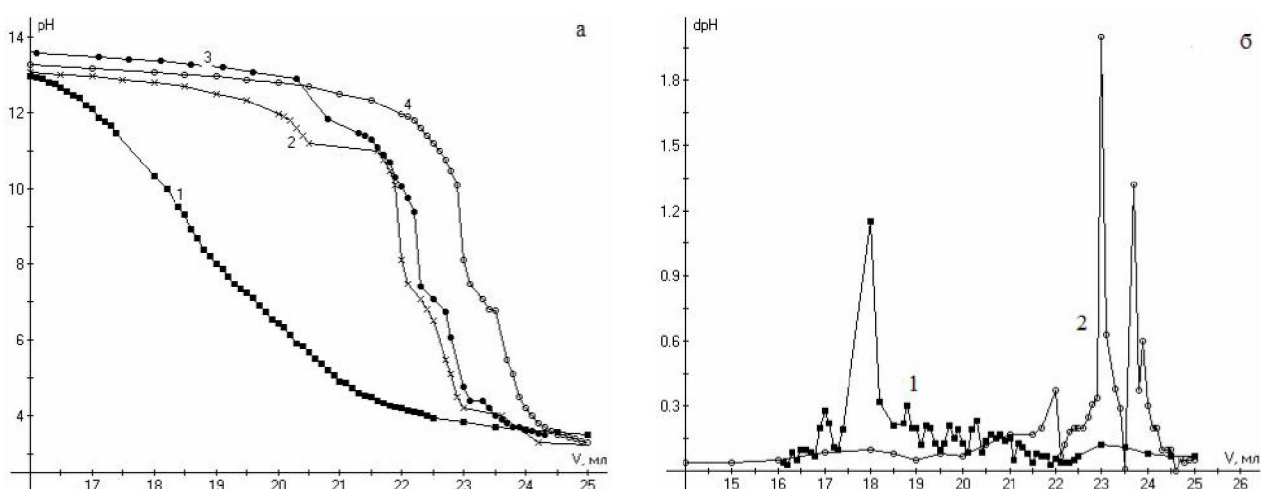
катодом - стальная фольга (нержавеющая сталь марки IX18Н9Т). Плотность тока варьировали от 0,05 до 0,2 A/cm<sup>2</sup>.

Навеску угля массой 10 г суспендировали в 250 мл водного раствора Na<sub>2</sub>SO<sub>3</sub> и загружали в анодное пространство электролитической ячейки, католитом также являлся раствор Na<sub>2</sub>SO<sub>3</sub>. Электрохимическое сульфирование проводили при температуре 60°C. По окончании опыта продукты, нерастворимые в анолине, отфильтровывали, осадок тщательно промывали дистиллированной водой до pH 7 и сушили при температуре на воздухе до постоянного веса. Продукты сульфирования, растворимые в анолине, высаживали 5% раствором HCl при pH 4-5, затем отфильтровывали, промывали 5% раствором HCl и сушили при 60°C для максимально возможного удаления HCl без дополнительного окисления продуктов.

ИК-спектры синтезированных соединений были сняты на ИК-спектрометре с Фурье преобразованием. Содержание серы определяли методом Шенигера [4] и потенциометрическим титрованием на pH-метре pH-240, сумму кислых групп - кондуктометрически. По данным титрования строили дифференциальные кривые в координатах ΔpH – V. Дифференциальная кривая потенциометрического титрования состоит из двух (для исходного угля) или трех (для продуктов электрохимического сульфирования) участков: первый означает нейтрализацию избытка щелочи, второй участок – нейтрализацию карбоксильных групп, третий – нейтрализацию сульфогрупп [5]. Для количественного определения содержания сульфогрупп по графику (рис.) определяли объем кислоты, ушедшей на титрование раствора, по разнице между объемами для второго (V<sub>2</sub>) и третьего пиков кривой (V<sub>3</sub>). Количество

Таблица 1. Характеристика окисленных углей Шубаркольского месторождения

Уголь	W <sup>a</sup> , %	A <sup>a</sup> , %	C <sup>r</sup> , %	H <sup>r</sup> , %	N <sup>r</sup> , %	S <sup>r</sup> , %	O <sup>r</sup> , %	Na <sup>daf</sup> , %
ШОУ	24,7	18,34	58,20	3,55	1,20	0,62	36,43	65-90
Химический состав золы, %								
	SiO <sub>2</sub>	Al <sub>2</sub> O <sub>3</sub>	Fe <sub>2</sub> O <sub>3</sub>	CaO	MgO	TiO <sub>2</sub>	P <sub>2</sub> O <sub>5</sub>	SO <sub>3</sub>
ШОУ	34,68	22,40	1,95	19,80	9,63	1,01	0,57	3,00



Интегральные (а) и дифференциальные (б) кривые потенциометрического титрования ( $m_{\text{навески}} = 0,1 \text{ г}$ ,  $C_{\text{HCl}} = 0,1 \text{ н.}$ ): а) 1 – уголь, 2, 3, 4 – сульфоуголь при плотности тока  $0,05, 0,1, 0,2 \text{ A/cm}^2$ , б) 1 – уголь, 2 – сульфоуголь ( $0,2 \text{ A/cm}^2$ )

сульфогрупп в составе продуктов электрохимического сульфирования рассчитывали по формуле:

$$X = \frac{(V_3 - V_2) \cdot 0,1}{g},$$

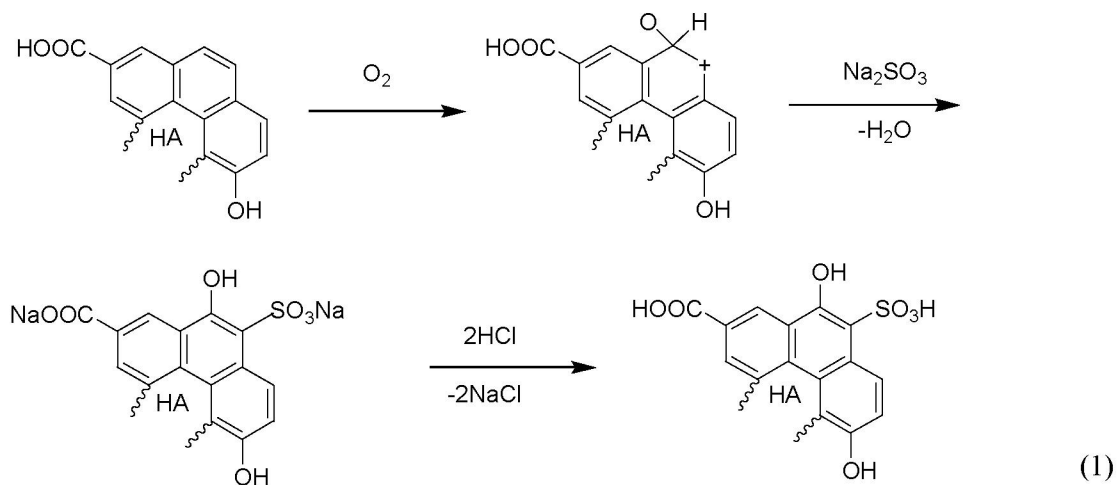
где  $X$  – количество сульфогрупп, мг-экв/г,  $V_3$  и  $V_2$  – объем 0,1 н. раствора  $\text{HCl}$ , мл, 0,1 – молярная концентрация эквивалента кислоты в растворе, г-экв/л,  $g$  – навеска образца, г.

### Результаты и их обсуждение

В процессе электролиза в анодном пространстве образуется кислород, который окисляет аро-

матическую часть угля по уравнению (1). Промежуточными являются продукты, аналогичные антрахинону или 9,10-фенантренхинону, которые легко вступают в реакцию присоединения с сульфитом натрия [5].

В процессе электрохимического сульфирования происходит разделение окисленного угля на его составляющие, которые далее участвуют в химических процессах, происходящих в анодном пространстве. Таким образом, реакционная смесь состоит из сульфирированной гуминовой кислоты (СГК) и сульфирированного остаточного угля (СОУ), нерастворимого в реакционной среде ( $\text{pH} > 8$ ).



НА – фрагмент органической массы угля (humic acids).

Присутствие сульфогрупп в структуре ОМУ подтверждено методом элементного анализа и ИК-спектроскопии. В ИК – спектрах появляются дополнительные полосы поглощения в областях, которые соответствуют симметричным ( $1030 \text{ см}^{-1}$ ) и асимметричным ( $1180 \text{ см}^{-1}$ ) валентным колебаниям сульфогрупп.

Результаты, приведенные в табл. 2, показывают зависимость функционального состава сульфоуглей от условий электрохимического сульфирования. За исследуемые параметры взяты продолжительность синтеза и концентрация анолита.

Таблица 2. Характеристики сульфопроизводных угля ( $t = 60^\circ\text{C}$ ;  $D = 0,1 \text{ A/cm}^2$ )

Продукты сульфирования	$\tau, \text{ч}$	Концентрация $\text{Na}_2\text{SO}_3, \% \text{ масс.}$	$\Sigma\text{COOH}+\text{OH}, \text{мг-экв/г}$	S, %
СГК/СОУ	0,5	20	3,05/1,95	0,39/0,12
	1,0	20	3,12/2,12	0,64/0,24
	2,0	20	5,11/2,42	0,95/0,63
	2,5	20	4,75/2,15	0,74/0,38
СГК/СОУ	1,0	5	4,48/3,66	0,49/0,12
	1,0	10	3,24/2,16	0,53/0,19
	1,0	15	3,06/2,11	0,61/0,21
	1,0	25	3,07/2,18	0,55/0,19

В числителе приведены значения для сульфированной гуминовой кислоты (СГК), в знаменателе – для сульфированного остаточного угля (СОУ).

С увеличением продолжительности процесса наблюдается увеличение суммы кислых групп в продуктах сульфирования, что подтверждает протекание реакции по вышеупомянутому механизму. Количество кислых групп возрастает как за счет новых фенольных гидроксильных групп, так и за счет сульфогрупп, введенных в структуру угольной массы. Отмечается также увеличение суммарного количества серы в синтезированных сульфоуглях.

Таким образом, основным фактором, способствующим присоединению сульфит-иона к ОМУ, является процесс окисления, который усиливает нуклеофильность ароматического фрагмента.

Первоначально был использован 20% водный раствор сульфита натрия как для уменьшения гидролиза самой соли, так и для предотвращения гидролитических процессов продуктов синтеза. С целью изучения влияния концентрации

анолита на характеристики сульфицированных веществ было проведено электрохимическое сульфирование с 10% и 5% растворами  $\text{Na}_2\text{SO}_3$ . С уменьшением концентрации раствора  $\text{Na}_2\text{SO}_3$  до 5% в составе сульфопроизводных угля увеличивается количество кислых групп, как в сульфицированной гуминовой кислоте, так и в сульфицированном остаточном угле. Однако количество присоединенной серы в продуктах синтеза меньше, чем при 10%, 20% концентрациях анолита. В данных условиях, по-видимому, превалируют окислительно-гидролитические процессы.

На рис. приведены кривые потенциометрического титрования исходного угля и его производных при плотности тока  $0,05, 0,1, 0,15, 0,2 \text{ A/cm}^2$ . Подобные кривые титрования образцов получены и для различной концентрации электролита. Результаты исследования показали, что изменение плотности тока в процессе сульфирования также влияет на количество сульфогрупп в продуктах реакции. Для более точного установления экстремумов кривые были представлены в дифференциальной форме (рис., б). На кривых, принадлежащих продуктам электрохимического сульфирования, появляется третий пик, соответствующий новым группам в составе угольного вещества – сульфогруппам. Изменение количества кислоты, ушедшей на титрование этих групп, соответствует изменению количества сульфогрупп в веществах.

Из данных рис., а можно установить, как процесс электрохимического сульфирования влияет на кислотные свойства полученных веществ. Проведение сульфирования, независимо от условий процесса, увеличивает силу кислот:  $\text{pK}_a$  снижается на несколько единиц и равно  $\approx 4,1 - 4,5$ . Для углегуминовых кислот данного месторождения  $\text{pK}_a$  составляет 4,75 [9].

Как видно из табл. 3, содержание сульфогрупп в продуктах сульфирования угля увеличивается

Таблица 3. Зависимость степени сульфирования от плотности тока (время процесса 2 ч, температура  $40^\circ\text{C}$ , массовая доля  $\text{Na}_2\text{SO}_3$  в растворе 10 %,  $m_{\text{навески}} = 0,1 \text{ г}$ )

Образец, №	Плотность тока D, $\text{A/cm}^2$	$n_{\text{сульфогрупп}}^2, \text{мг-экв/г}$
1	0.20	0.8
2	0.15	0.9
3	0.10	1.2
4	0.05	1.0

при снижении плотности тока. Это можно объяснить тем, что реакция сульфирования угля протекает в две стадии. Вначале происходит электрохимическая активация бензольного кольца, а затем замещение активного водорода на сульфогруппу. Возможно также замещение карбоксильной группы на сульфогруппу в результате реакции декарбоксилирования [6].

На основании проведенных исследований можно сделать следующие выводы:

1. Наибольшее количество сульфогрупп содержит продукты, образующиеся при плотности тока  $0,10 \text{ A/cm}^2$  и концентрации  $\text{Na}_2\text{SO}_3 20\%$ .

2. Изменение концентрации сульфита натрия и плотности тока дает возможность варьировать функциональный состав образующихся сульфогуминовых кислот.

#### ЛИТЕРАТУРА

1. Гагарин С.Г., Головин Г.С., Смирнов Р.Н. Реакционная способность при сульфировании олеумом углей ряда метаморфизма // ХТТ. 1995. № 6. С. 20-28.

2. Moschopedis S., Speight J.G. Water-soluble derivatives of Athabasca asphaltenes // Fuel. 1970. V. 49, № 7. P. 34-40.

3. Джильберт Э.Е. Сульфирование органических соединений. М.: Химия, 1969. 416 с.

4. Калинина Л.С., Моторина М.А., Никитина Н.И., Хачапуридзе Н.А. Анализ конденсационных полимеров. М.: Химия, 1984. С. 57.

5. Кулеш Н.И., Максимов О.Б. Окислительно-восстановительные превращения хиноидных групп гуминовых кислот // ХТТ. 1976. № 1. С. 3-9.

6. Томилов А.П., Фиошин М.Я., Смирнов В.А. Электрохимический синтез органических веществ. Л.: Химия, 1976.

7. Рябова И.Н., Аккулова З.Г., Жубанов Б.А. Ионообменные свойства модифицированных гуминовых кислот // Вестник НАН РК. 2003. №3. С. 49-53.

#### Резюме

Шубаркөл кен көзінен табылған қарапайым көмірді электрохимиялық сульфирлеу үрдісі зерттелген. Егерде натрий сульфитінің концентрациясын және ток тығыздығын өзертес пайда болған сульфогумин қышқылдарының функционалды құрамын әртүрлі өзгертуге мүмкіншілік тудауы.

#### Summary

Research of electrochemical sulfuration of Shubarcol deposit ordinary coal is carried out. Change of concentration of sodium sulphite and density of a current enables to vary functional structure formed sulphohumic acids.

УДК 661.642+541.138

ТОО «Институт органического синтеза  
и углехимии РК»

Поступила 15.08.07г.